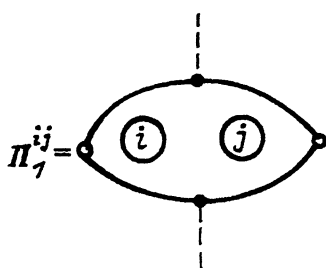


НЕЛИНЕЙНАЯ ГЕНЕРАЦИЯ ФОНОВ
В СЛОИСТЫХ ПРОВОДНИКАХ
ПОД ВОЗДЕЙСТВИЕМ СВЧ ПОЛЯ

С.Е. Шафранюк

Проявляемый в последние годы повышенный интерес к слоистым проводящим структурам во многом вызван их практическим использованием в микроэлектронике. Слоистые проводники, представляющие собой систему слабосвязанных параллельных проводящих слоев, обычно создаются с помощью методик интеркалирования, послойного напыления или эпитаксии [1, 2]. При этом элементы электронных схем, созданные на основе таких проводников, зачастую находятся под воздействием различных интенсивных электромагнитных полей. Ясно, что в данной ситуации они сами, как правило, становятся источниками вторичных излучений. В настоящей работе методом диаграммной техники для неравновесных процессов [3] рассмотрено явление вторичного излучения (нелинейной генерации) неравновесных акустических фонов образцом слоистого проводника, находящимся под воздействием внешнего интенсивного электромагнитного поля частоты Ω . Изучен случай слабого взаимодействия электронов, принадлежащих различным слоям i и j , разделенных диэлектрическими прослойками толщиной $h_i \gg a$ (a - межатомное рассеяние в плоскости слоя), когда применим формализм гамильтониана перескоков [2] (эквивалентного туннельному гамильтониану [4] с матричным элементом перехода T_{pp}^{ij} , между слоями i и j). Считается, что толщины слоев $d_i \sim a$, поэтому импульс p электронов двумерный, а рассматриваемые здесь длинноволновые фоны имеют нелинейный и существенно анизотропный закон дисперсии $\omega(\vec{q})$ (см. [5, 8]), определяющий, в частности, анизотропию взаимодействия фонов с электронами i -го слоя. Рассмотрим условия, в которых вектор напряженности СВЧ волны направлен перпендикулярно слоям и которые аналогичны условиям реализации эффекта Дайема-Мартина туннелирования электронов с участием фотонов в одиночном туннельном контакте сверхпроводников [6, 7]. Если размеры образца порядка длины СВЧ волны, межслойные закоротки отсутствуют и $T_{pp}^{ii} \approx T_{pp}^{jj}$, то между слоями i и j возникает эффективное напряжение $\varphi_i(t) - \varphi_j(t) = (i-j)V \cos \Omega t$ (V - амплитуда напряжения между соседними слоями, $\varphi_i(t)$ - потенциал, создаваемый в i -ом слое СВЧ полем). Поляризационные операторы P_o^i и P_e^j , определяющие фонон-электронные взаимодействия, даны на рисунке. Сплошными линиями изображены электронные функции Грина-Келдыша [3], пунктиром - внешнее поле, i и j - индексы слоев, светлые кружки обозначают электрон-фононные вершины, а темные - вершины, отвечающие процессам перескоков электронов через слои под действием СВЧ поля:



$$\Gamma_{lm}^k = \beta_{lm} \sum_n J_n^2 \left(\frac{keV}{\Omega} \right) e^{in\Omega t} T_{pp'}^k , \quad (1)$$

где $\beta_{lm} = (\hat{G}_x)_{lm} / \sqrt{2}$, l и m - индексы Келдыша [3], $J_n(x)$ - функция Бесселя порядка n . Все диаграммы необходимо присуммировать по индексам Келдыша электронных линий и индексам слоев. В пределе $\Omega \tau_p \gg 1$, $q b_s \gg 1$ и $\tau_p > \tau_{p-1}$ ($\tau_p = \pi (V_s m^* |T^k|^2)^{-1}$ - эффективное время перескока; V_s - объем проводящего слоя; m^* - эффективная масса электрона; τ_{p-1} - время перепоглощения фонона; b_s - длина свободного пробега электрона в слое) методом [3] построено кинетическое уравнение для фононной функции распределения $N(\omega_q)$. Из данного уравнения найден спектр неравновесных фононов $G(\omega_q)$, генерируемых слойстым проводником под действием СВЧ поля при $\tau_{p-1} > \tau_{es}$ (τ_{es} - время вылета фононов из образца). Рассмотрим здесь наиболее интересный, на наш взгляд, случай воздействия импульсного поля с продолжительностью импульса τ_u , когда $\Omega \gg i_u^{-1} \gg \tau_e^{-1}$ (τ_e - время энергетической релаксации электронов) и функция распределения f_e равновесна. При этом нелинейная полевая генерация (количественно определяемая теперь только операторами Π_1^{ij}) вызвана излучением фононов непосредственно в актах межслойных перескоков электронов и ее спектр имеет вид:

$$G(\omega_q) = \lambda_q \sum_{n,k \geq 1} |\tau^k|^2 J_n^2 \left(\frac{keV}{\Omega} \right) (n\Omega - \omega_q) \theta(n\Omega - \omega_q) , \quad (2)$$

$$\lambda_q = \frac{1}{2} V_s \left(\frac{m^*}{\pi} \right)^2 g^2(q) \omega_q^2 |I(q, \omega_q)|^2 , \quad (3)$$

$$I(q, \omega_q) = \frac{2i}{(\omega_q^2 - (v_F q)^2)^{1/2}} \operatorname{arctg} \frac{v_F q}{(\omega_q^2 - (v_F q)^2)^{1/2}} , \quad (4)$$

где v_F - фермиевская скорость. При выводе (2) считалось, что $T_{pp'}^k \approx \tau^k$, а слои эквивалентны. Оценим степень анизотропии $\mathcal{J} = G''_p(\omega) / G'_p(\omega)$ спектра фононов частоты $\omega = \omega_q$, испускаемых

вдоль (11) и поперек (1) слоев. Полагая при этом $s_m \ll v_F$ (s_m – максимальное значение скорости звука), получим $\tau^* \approx \frac{(m_{11}g(q_{11}))^2}{(m_{11}g(q_1))^2}$, где m_{11} и m_1 – компоненты эффективной массы электрона ($m_{11} = m_{xx} = m_{yy}$; $m_1 = m_{zz} \rightarrow \infty$), а константа электрон-фононного взаимодействия $g(q)$ вычислена в деформационной модели [9]: $g(\vec{q}) = -i \sum_{\alpha, \beta, \gamma} e^{\alpha}(\vec{q}) P_{\beta\gamma}((p+q)_\alpha q_{\beta} + q_{\beta} p_{\alpha}) / (4m_{11} \sqrt{2\rho m_2})$ ($\vec{e}(\vec{q})$ – единичный вектор поляризации, ρ – плотность материала).

Рассмотрим, в качестве примера, простую модель слоистого гексагонального кристалла, обладающего двумя типами акустических колебаний [5]: колебаний в плоскости слоев с законом дисперсии

$$\omega_{3q}^2 \approx (\alpha_3/M) a^2 q_{\perp}^2 + (\alpha_1/M) \sin^2(hq_{\perp}/2) \quad (\text{здесь } M \text{ – масса иона}; \\ aq_{\perp} \ll 1; \alpha_i = \alpha^{ik}(hn^k); \alpha_3 = \alpha^{ik}(an^k)) \text{ при } i, k = x, y; \alpha_x = \alpha^{xx}(hn^x) \text{ –} \\ \text{элементы силовой матрицы [5], } n'' \text{ и } n^{\perp} \text{ – единичные векторы) и "изгибных" колебаний слоев с } \omega_{3q}^2 \approx |\alpha_1/M| h^2 q_{\perp}^2 + |\alpha_3/M| a^4 q_{\perp}^4 - \\ (4\alpha_2/M) \sin^2(hq_{\perp}/2).$$

С учетом сказанного, имеем $\tau^* \approx (q_{11}/q_1)^2 \approx [(\omega/a)^2(M/\alpha_3)] / [(2/h)^2 \cdot \arcsin^2(\omega^2 M / 4\alpha_2)^{1/2}]$, что для значений параметров, приведенных, например, в [5] для графита: $\alpha_2 = 10^5$ дин/см, $\alpha_3 = 0.6 \cdot 10^4$ дин/см $h/a \approx 2.5$ при $hq_{\perp} \ll 1$ дает $\tau^* \approx 0.37$. Значительно более высокую степень анизотропии следует ожидать, например, в соединениях TaS_2 , интеркалированных молекулами пиридина, где анизотропия электронной проводимости достигает величины 10^5 [10]. Однако здесь возникает задача экспериментального определения параметров h , a и элементов силовой матрицы $\alpha^{ik}(n)$.

Рассмотренное явление, на наш взгляд, можно использовать при создании генераторов неравновесных фононов, а также следует учитывать при анализе работы элементов схем, обладающих слоистой структурой и находящихся под воздействием СВЧ поля. Проведенные оценки показывают, что исследование нелинейной генерации фононов позволяет получить информацию о параметрах перескоков τ^k и анизотропии дисперсии фононов.

Автор благодарен В.Г. Барьяхтару и В.П. Семиноженко за обсуждение результатов работы.

Л и т е р а т у р а

- [1] Safran S.A. – Phys. Rev. Lett., 1980, v. 44, N 12, p. 937–940.
- [2] Гвоздиков В.М. – ФТТ, 1983, т. 25, № 11, с. 3336–3340.
- [3] Келдыш Л.В. – ЖЭТФ, 1964, т. 47, № 10, с. 1515–1527.
- [4] Туннельные явления в твердых телах. М.: Мир, 1973. 320 с.
- [5] Косевич А.М. Физическая механика реальных кристаллов. К.: Наукова думка, 1981. 328 с.
- [6] Tien P.K., Gordon J. – Phys. Rev., 1963, v. 129, N 2, p. 647–651.

- [7] Семиноженко В.П., Шафранюк С.Е. -
ФНТ, 1984, т. 10, № 3, с. 273-279.
- [8] Fomin V.M., Rockatilov E.P. - Phys.
Stat. Sol. (b), v. 132, N 1, p. 69-82.
- [9] Tsuneto T. Phys. Rev., 1961, v. 121,
N 2, p. 402-415.
- [10] Булаевский Л.Н. - УФН, 1975, т. 116, в. 3,
с. 449-487.

Институт металлофизики
АН УССР, Киев

Поступило в Редакцию
21 июля 1987 г.

Письма в ЖТФ, том 14, вып. 4

26 февраля 1988 г.

ЗАВИСИМОСТЬ ПОРОГА ПРОТЕКАНИЯ
В СМЕСЯХ ПРОВОДНИК-ДИЭЛЕКТРИК
ОТ СРЕДНЕГО РАЗМЕРА И СОБСТВЕННОЙ
ПОРИСТОСТИ ЧАСТИЦ ПРОВОДНИКА

С.И. Зиновьев, Р.В. Манчук,
Л.И. Сарин, И.А. Энтин

Для смесей проводник-диэлектрик в [1, 2] исследовалось влияние соотношения средних размеров частиц проводника \bar{a}_1 и диэлектрика \bar{a}_2 на порог протекания x_{rc} . Показано, что

$$\frac{dx_{rc}}{d\Gamma} \geq 0, \quad (1)$$

$$\Gamma = \frac{\bar{a}_1}{\bar{a}_2} .$$

Нами исследована зависимость порога протекания в смеси пековый кокс-портландцемент от Γ при фиксированной \bar{a}_2 . Порошок пекового кокса разделялся по фракциям на ситах, причем $\bar{a}_1 > \bar{a}_2 \approx 2 \cdot 10^{-5}$ м. Предполагалось, что распределение частиц проводника по размеру внутри фракций - равномерное, электропроводность смесей измерялась под давлением $P = 5 \dots 80$ МПа. Объемные концентрации компонентов x_i ($i = 1, 2$) рассчитывались как и в [1]:

$$x_i = \frac{m_i}{\rho_i \cdot V(P)},$$

где $V(P)$ - объем смеси, m_i - массы и ρ_i - плотности компонентов.